Volume 11, Number 1, Spring 2016

Effects of Different Reconstruction Kernels on Noise and Spatial Resolution of Computed Tomography Images: A Phantom Study

Daryoush khoramian^{1*}, Bijan Hashemi¹, Soroush Sistani²

¹Department of Medical Physics, Faculty of Medical Sciences, Tarbiat Modares University, Tehran, Iran ²Department of Medical Physics, Student Research Committee, Semnan University of Medical Sciences, Semnan, Iran

Abstract

Introduction: Noise and spatial resolution (SR) are the main characteristics of image quality in CT scanning affected by different radiation and technical parameters. One of the important parameters are reconstruction kernels. Different reconstruction kernels are used for noise reduction and/or edge-enhancement purposes. In this study, we investigate some reconstruction kernels about noise and SR on a commercial CT scanner.

Methods and Materials: To evaluate the noise and SR, a standard quality control phantom was used with the diameter of 16cm. Images were taken and reconstructed with 5 different kernels. Reconstructed kernels were H10, H30, H40, H50 and H70. For SR estimation we used point spread function (PSF) around narrow tungsten wire and full width at half maximum (FWHM) for each image. All measurements were performed on Siemens Emotion 6 CT scanner.

Results: Noise of images in H10, H30, H40, H50 and H70 were 2.61±0.67, 4.33±1.20, 5.94±1.89, 8.58±3.30 and 19.59±4.53 respectively. FWHM in H10, H30, H40, H50 and H70 were 1.80±0.19, 1.44±0.11, 1.32±0.17, 1.24±0.09 and 1.04±0.17 respectively.

Discussion and Conclusion: In this study, the effect of implementing 5 different reconstruction kernels on noise and SR of CT images were investigated. Based on the results, the noise increased and FWHM decreased with the increment of kernels' number from H10 to H70.

Keywords: Reconstruction kernel, Noise, Spatial resolution, Computed tomography



بررسی تاثیر کرنلهای مختلف بازسازی تصویر بر روی نویز و رزولوشن فضایی تصاویر سیتی اسکن: مطالعه بر روی فانتوم

داریوش خرمیان ۱*، بیژن هاشمی ۱، سروش سیستانی ۲ گروه فیزیک پزشکی، دانشکده علوم پزشکی، دانشگاه تربیت مدرس، تهران، ایران ۲ گروه فیزیک پزشکی، دانشگاه علوم پزشکی سمنان، سمنان، ایران

چکیده

مقدمه: نویز و رزولوشن فضایی به عنوان پارامترهای مهم در تعیین کیفیت تصاویر توموگرافی کامپیوتری (CT scan) تحت تاثیر پارامترهای مختلف به منظور کاهش نویز و یا افزایش شدت در لبهها استفاده می شوند که هر کدام از آنها کاربردهای کلینیکی خاص خود را دارند. در این تحقیق تاثیر فیلترهای مختلف بازسازی تصویر بر روی نویز و رزولوشن فضایی بررسی خواهد شد.

مواد و روشها: تصاویر حاصل از فانتوم کنترل کیفی استاندارد با قطر ۱۶ سانتی متر با پنج کرنل مختلف بازسازی شد. سپس نویز و رزولوشن فضایی در هر یک از تصاویر اندازه گیری و با هم مقایسه شد. به منظور بر آورد رزولوشن فضایی از تابع نقطه گستر (PSF) و اندازه گیری پهنا در نصف مقدار بیشینه (FWHM) استفاده شد. کرنل های مورد استفاده کرنل های ۱۹۱۰، ۱۹۳۰ و ۱۹۵۰ بود. تمامی تابش دهی ها بر روی اسکنر ۶ اسلایس زیمنس مدل ۶ Emotion انجام شد.

یافته ها: نویز در کرنلهای ۱۸۱۰ ، ۱۹۲۰ ، ۱۹۰۰ و ۱۷۰ به ترتیب بر ابر با ۱/۶۰±۱/۲۰ ، ۲/۶۱±۱/۸۹ ، ۴/۳۳±۵/۸۰ ، ۸/۵۸ و ۴/۵۳±۱۹/۵۹ بود. همچنین ۴۷۸۸ در کرنلهای ۱۹۱۰ ، ۱۳۵ ، ۱۹۴۰ و ۱۷۰ به ترتیب ۴۰/۱۹ ، ۱/۸۰±۱/۴۰ ، ۱/۴۴±۱/۱۰ ، ۱/۲۴±۱/۱۰ و ۱/۲۴±۱/۱۰ و ۱/۰۴±۱/۱۰ بود.

بحث و نتیجه گیری: نتایج حاصل از این تحقیق روند افزایشی نویز با توجه به افزایش شماره کرنل از H۱۰ تا H۷۰ را نشان میدهد. این روند برای FWHM روندی کاهشی است (بهبود رزولوشن کنتراست).

کلمات کلیدی: کرنل های بازسازی تصویر، نویز، رزولوشن فضایی، سی تی اسکن

مقدمه

کیفیت تصاویر در سی تی توسط سه پارامتر کنتراست تصویر، رزولوشن فضایی و نویز مشخص می شود (۱، ۲). نویز در تصاویر سی تی به صورت انحراف معیار اعداد سی تی در یک تصویر یکنواخت تعریف می شود. برای یک سیستم سی تی میزان نویز رابطه عکس با رزولوشن دارد و با رابطه $\frac{1}{s \times 1/V}$ متناسب است. در این رابطه $\frac{1}{s \times 1/V}$ متناسب است. در این رابطه $\frac{1}{s \times 1/V}$ برابر می شود، نویز در تصویر $\frac{1}{s \times 1/V}$ برابر می شود (۳). در واقع نویز عبارت

است از نوسان اعداد سی تی در تصویر حاصل از اسکن یک ماده یکنواخت مثل آب که با رابطه $\sigma=\sqrt{N}$ بیان می شود. در این رابطه N تعداد فو تونهای اشعه ایکس رسیده به هر پیکسل و σ انحراف معیار است (۲، ۴). رزولوشن فضایی یک دستگاه سی تی، توانایی آن در نمایش مجزای تصاویر دو جسم بسیار نزدیک به هم است (۴، ۵). از رزولوشن فضایی به عنوان رزولوشن کنتراست بالا نیز یاد می شود. رزولوشن فضایی با جسم آزمون با کنتراست بالا (بیش یا در صد) با زمینه یکنواخت و دارای خطوطی با فرکانسهای

Downloaded from jps.ajaums.ac.ir on 2025-10-28

فضایی متفاوت اندازه گیری می شود. در این تست خطوط مجاور در تصویر که خوانایی کافی را دارند به عنوان رزولوشن فضایی در نظر گرفته می شوند. روش دیگر استفاده از یک دانه یا سیم با چگالی بالا (مانند تنگستن) وسط جسم آزمون به عنوان یک منبع نقطه ای و رسم تابع نقطه گستر (PSF) و سپس اندازه گیری پهنا در نصف مقدار بیشینه (FWHM) است (۶).

اگرچه پارامترهای کیفیت تصویر ذکر شده (نویز و رزولوشن فضایی) به عواملی مانند شدت جریان تیوب اشعه ایکس، ضخامت اسلایس، فاصله تیوب تا مرکز دوران، ژئومتری آشکارسازها، کولیماسیون، اندازه نقطه کانونی، اندازه پیکسل و... ارتباط دارد، (۵،۷) اما تا حد زیادی متاثر از کرنلهای بازسازی میباشند (۵، ۸–۱۰). با توجه به اهمیت کیفیت تصاویر در فرایند تشخیص، و با توجه به اینکه مطالعه جامعی بر روی انواع کرنلهای بازسازی تصویر و تاثیر مطالعه جامعی بر روی انواع کرنلهای بازسازی تصویر و تاثیر بررسی تاثیر کرنلهای مختلف بازسازی تصویر بر روی پارامترهای بررسی تاثیر کرنلهای مختلف بازسازی تصویر بر روی پارامترهای کیفیت تصویر (نویز و رزولوشن فضایی) بر روی یک اسکنر مولتی اسلایس با استفاده از یک فانتوم کنترل کیفی استاندارد سی تی بود.

مواد و روشها

اسکنرهای سی تی و فانتوم کنترل کیفی استاندارد

تمامی اندازه گیری ها در این تحقیق بر روی اسکنر ۶ اسلایس مدل ۶ Emotion ۶ ساخت کمپانی زیمنس انجام شد. این اسکنر دارای

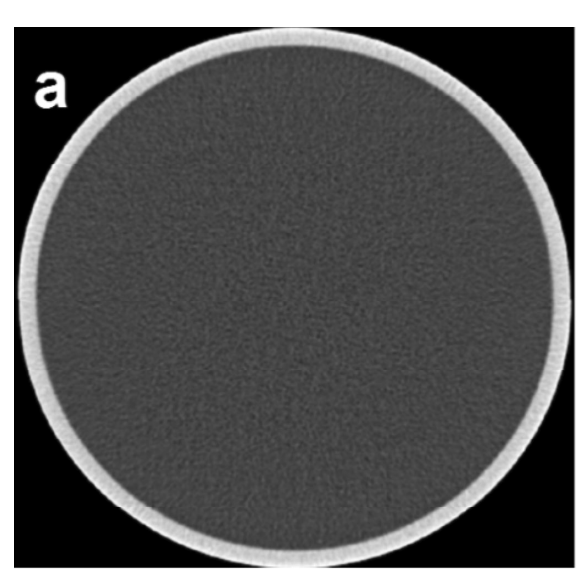
۱۶ آشکارساز از نوع سرامیکی سریع (UFC) است. ۸ آشکارساز 0/1 آشکارساز ها به اسکنر اجازه می دهد در 0/1 حالت مختلف این ترکیب آشکارسازها به اسکنر اجازه می دهد در 0/1 حالت مختلف 0/1

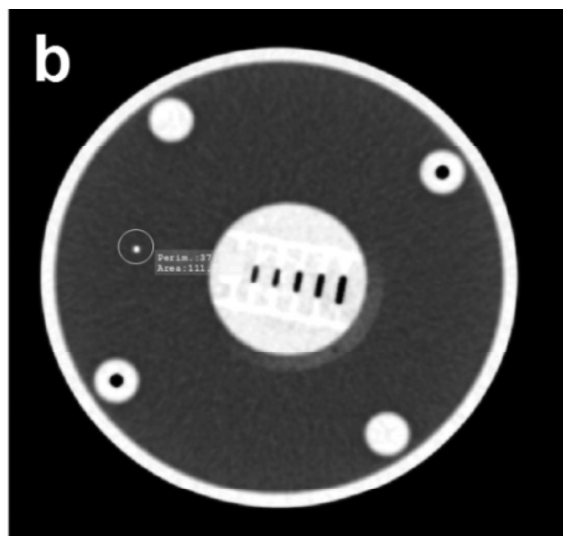
پارامترهای تابش و بازسازی تصاویر

در تمامی تابشدهیها ولتاژ و شدت جریان تیوب اشعه ایکس ثابت و به ترتیب برابر با ۴۷۱۱ و ۳۸۱۷ و در حالت اگزیال انجام می شد. ضخامت اسلایس بازسازی ۴ میلی متر و ماتریس بازسازی ۲۵×۵۱۲ پیکسل بود. زمان چرخش یک دور تیوب به دور فانتوم ۱ ثانیه بود. جدول ۱ خلاصه پارامترهای تابشی را نشان می دهد.

كرنلهاى بازسازى

کرنلهای بازسازی به عنوان فیلترهای بازسازی اعمال شده به دادههای اولیه (rawdata) به منظور بهینه سازی تصاویر نهایی تعریف می شوند. (۹) شاخص نویز و روزلوشن فضایی تا حد زیادی تحت تاثیر فیلتر استفاده شده به منظور بازسازی است. روشهای مختلفی





شکل ۱ – نمایی از قسمتهای تعیین نویز و رزولوشن فضایی فانتوم کنترل کیفی به کار رفته در این تحقیق



جدول ۱- پارامترهای تابشی به فانتوم کنترل کیفی

زمان چرخش تیوب (s)	حالت تصويربرداري	ضخامت اسلایس بازسازی (mm)	mAs	kV	: 1 l
۱ ثانیه	اگزيال	*	17.	11.	پارامترهای تابشی ۰

برای نامگذاری کرنلهای مختلف وجود دارد. این نامگذاری در اسکنرهای زیمنس به صورت کدهای از پیش تعیین شده است. حروف لاتین در اول کرنل ناحیه بازسازی را مشخص می کند. به طور مثال کرنل B(معرف Body) برای بدن و کرنل H(معرف Head) برای سر استفاده می شود. اعداد نیز نمایانگر نرمی و یا تیزی کرنل است. نرم ترین فیلتر، فیلتر، فیلتر ۱۰ و تیز ترین فیلتر، فیلتر، فیلتر، ۱۰ و تیز ترین فیلتر، فیلتر، فیلتر ۲۰ و می شود.

جدول ۲- کرنلهای بازسازی تصویر اسکنر ۶ اسلایس و مشخصات آنها

مشخصه	كرنلهاي	مشخصه	كرنلهاي	
	بازسازی بدن	***************************************	بازسازی سر	
بسيار نرم	в\•	بسيار نرم	н۱۰	
نرم	в7•	نرم	H۲٠	
نرم متوسط	в~∙	نرم +	HYI	
نرم متوسط +	в~1	نرم +FR	НҮҮ	
بازسازی قلب	в۳۵	نرم متوسط	н۳٠	
متوسط	В۴∙	نرم متوسط +	н٣١	
متوسط +	B * 1	نرم متوسط +FR	нтт	
متوسط	В49	نرم متوسط	н٣٧	
متوسط تيز	В۵∙	متوسط	H*•	
تيز	В۶∙	متوسط +	H*1	
تيز	в۶۵	متوسط FR	Н۴۲	
خیلی تیز	BV∙	متوسط	н۴۵	
خیلی تیز	BVΔ	متوسط نرم	H۴V	
بسیار تیز	В∧∙	متوسط نرم	Н۴Л	
بسیار تیز	в۹∙	تيز	Н۵۰	
		تيز متوسط	Н۶۰	
		خیلی تیز	H٧٠	
		بازسازي اندامهاي	НΛ•	
		داخلي گوش		
		بازسازي اندامهاي	LIQ	
		داخلي گوش	нч.	

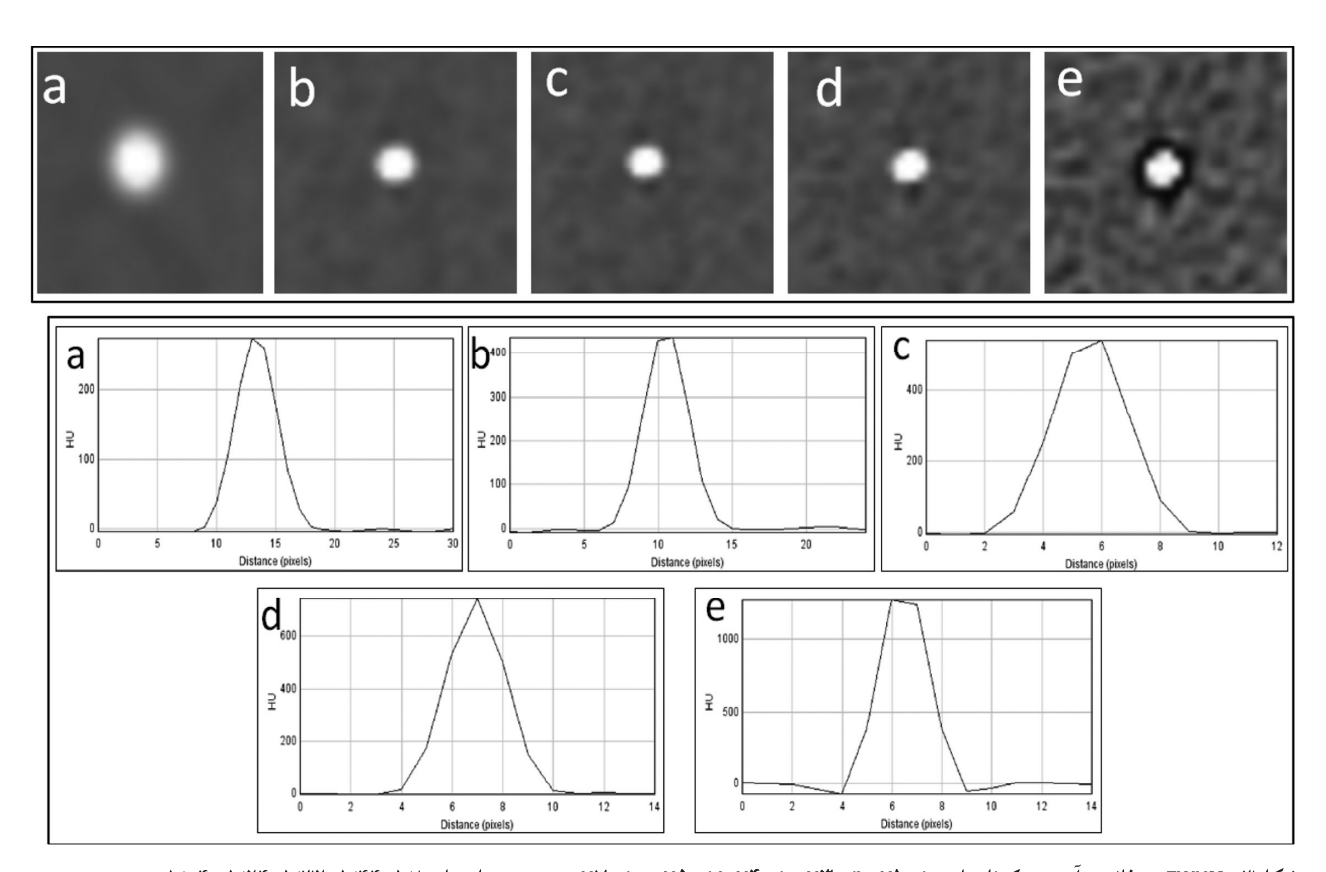
برخی اسکنرها) است. (۱۱)

تصاویر سی تی از فانتوم با ماتریس ۵۱۲×۵۱۲ تهیه و با کرنلهای اسلام، ۱۹۳۰ ، ۱۹۳۰ و ۲۷۰ بازسازی شد. تصاویر گرفته شده در سیستم PACS با فرمت دایکام ذخیره و با نرم افزار PACS مورد بررسی قرار گرفت. به منظور برآورد نویز ROI دایرهای به اندازه بررسی قرار گرفت. به منظور برآورد نویز اولا، پایین، گوشه بیک سانتی متر از بالا، پایین، گوشه چپ و گوشه راست فانتوم انتخاب و انحراف معیار اعداد سی تی به عنوان نویز کل تصویر در نظر گرفته می شد. با این روش یکنواختی اعداد سی تی در فانتوم نیز قابل بررسی است. اندازه گیری ها در سه اسلایس مرکزی فانتوم تکرار و میانگین و انحراف معیار آن به منظور میزان نویز نهایی در نظر گرفته شد. به منظور برآورد FWHM نیز میراده می شد. سیس ۲۶۲ رسم و از روی آن MHMP بر آورد شد.

نتايج

در این تحقیق اثر ۵ کرنل بازسازی مختلف بر روی نویز و رزولوشن فضایی در تصاویر حاصل از یک فانتوم استاندرد کنترل کیفی بر روی یک اسکنر مولتی اسلایس بررسی شد. شاخص نویز در هر گروه از تصاویر از میانگین اعداد سی تی در مرکز و اطراف فانتوم به دست آمد. نویز در کرنلهای ۱۹۰۰ با ۱۹۳۰ با ۱۹۰۰ بود. همچنین ۱۹۰۱ بود. همچنین ۱۹۰۱ بود. همچنین ۱۹۰۱ با ۱۹۰۱ با ۱۹۰۱ با ۱۹۰۱ با ۱۹۰۱ بود. شکل ۲ تصاویر بازسازی شده در کرنلهای مختلف را نشان می دهد. همچنین مقادیر اعداد سی تی کرنلهای مختلف را نشان می دهد. همچنین مقادیر اعداد سی تی افزایش میزان نویز در تصاویر از ه تا مشاهده می شود. شکل ۳ از تصاویر بازسازی شده از سیم تنگستنی در کرنلهای مختلف را نشان می دهد که کاهش میزان ۱۹۰۱ با ۱

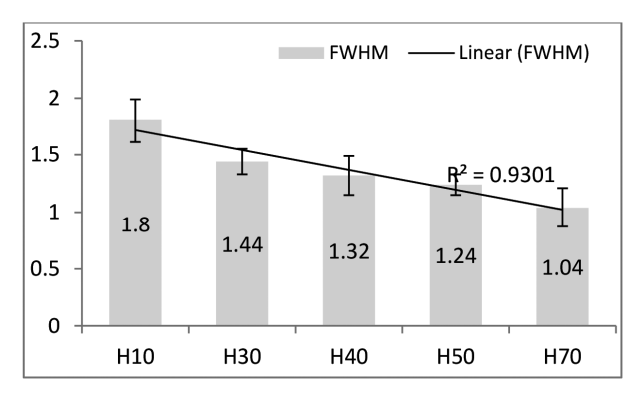
شکل۲-نویز در فانتوم آب در کرنلهای کرنلهای کرنلهای HV۰ (e ، H۴۰ (c ،H۴۰ (b ،H۱۰ (a و ۱۹/۵۹ به ترتیب برابر با ۲/۶۱، ۴/۳۳ ، ۸/۵۸ و ۱۹/۵۹



شکل ۳- FWHM در فانتوم آب در کرنلهای HV۰ (e و H۵۰ (d ،H۴۰ (c ،H۳۰ (b ،H۱۰ (a کرنلهای ۱/۳۲ ،۱/۳۲ ،۱/۴۴ ،۱/۳۲ به ترتیب برابر با



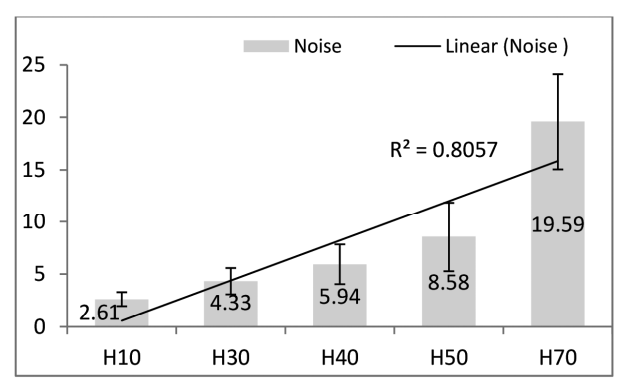
به مقدار کرنل مرجع انتخابی (۱۹۰) به ترتیب افزایش ۱/۶۵، ۲/۲۷، ۲/۲۸ و ۷/۵ برابری را نشان می دهد. همچنین نسبت به کرنل مرجع (۱۱۰)، FWHM با ضرایب ۲/۸، ۳/۷۰، ۲/۵۰ و ۷/۵۰ کاهش را نشان می دهد (جدول ۳). همچنین با توجه به اندازه گیری نویز در مرکز و اطراف فانتوم، عدم یکنواختی در تصاویر مشاهده نشد.



نمودار ۲ - کاهش FWHM با توجه به افزایش شماره کرنل بازسازی از ۱۹۰۰ ۱ م۷۰ - ۲۷۰

بحث و نتیجه گیری

نتایج حاصل از اندازه گیری ها افزایش میزان نویز در تصاویر بازسازی شده با توجه به افزایش شماره فیلتر از ۲۱۰ (فیلتر نرم) تا ۲۷۰ (فیلتر بسیار تیز) را نشان می دهد، این در حالی است که مقادیر FWHM روند کاهشی از خود نشان می دهد (نمودار ۱ و ۲). مقادیر نویز در تصاویر بازسازی شده در کرنل های ۲۳۰ ۲۰۰ ۲۰ ۲۰ ۲۰ ۱۹۵۰ سبت



نمودار ۱- افزایش میزان نویز با توجه به افزایش شماره کرنل بازسازی از HV۰ تا ۲۷۰

	انتخابی (H۱۰)	ئرنل مرج	FWHM نسبت به ک	نسبى نويز و	دول۳– مقدار :
--	---------------	----------	----------------	-------------	---------------

	کرنل H۱۰	H٣٠ (H٣٠/H١٠)	H*• (H*•/H1•)	H۵۰ (H۵۰/H۱۰)	HV• (HV•/H\•)
نويز	۲/۶۱	4/44(1/80)	۵/9۴(۲/۲۷)	۸/۵۸(٣/۲۸)	19/09(V/0+)
FWHM	1/A	1/44(*/**)	1/77(+/77)	1/74(•/81)	1/+4(+/07)

References

- 1- Ay MR, Mehranian A, Maleki A, Ghadiri H, Ghafarian P, Zaidi H. Experimental assessment of the influence of beam hardening filters on image quality and patient dose in volumetric 64-slice X-ray CT scanners. Physica Medica. 2013;29 (3): 249-60.
- Bushberg JT, Boone JM. The essential physics of medical imaging: Lippincott Williams & Wilkins; 2011.
- 3- Dowsett D, Johnston R, Kenny P. The physics of diagnostic imaging. London: Chapman & Hall. 1998.
- 4- Curry III TS, Dowdey JE, Murry Jr RC. Christensen's physics of diagnostic radiology 4 Ed: Lippincott Williams & Wilkins; 1990.
- 5- Verdun F, Racine D, Ott J, Tapiovaara M, Toroi P, Bochud F, et al. Image quality in CT: From physical measurements to model observers. Physica Medica. 2015;31 (8): 823-43.
- 6- Mutic S, Palta JR, Butker EK, Das IJ, Huq MS, Loo L-ND, et al. Quality assurance for computed-tomography simulators and the computed-tomography-simulation process: Report of the AAPM Radiation Therapy Committee Task Group No.

- 66. Medical physics. 2003;30: 2762.
- 7- Dowsett D, Kenny PA, Johnston RE. The Physics of Diagnostic Imaging Second Edition: CRC Press; 2006.
- 8- Eldevik K, Nordhøy W, Skretting A. Relationship between sharpness and noise in CT images reconstructed with different kernels. Radiation protection dosimetry. 2010: ncq063.
- 9- Jang KJ, Choi JW, Kweon DC, Lee JW, Goo EH, Dong KR, et al. Measurement of image quality in CT images reconstructed with different kernels. Journal of the Korean Physical Society. 2011;58 (2): 334-342.
- 10- Seifarth H, Raupach R, Schaller S, Fallenberg EM, Flohr T, Heindel W, et al. Assessment of coronary artery stents using 16-slice MDCT angiography: evaluation of a dedicated reconstruction kernel and a noise reduction filter. European radiology. 2005;15 (4): 721-6.
- 11- SOMATOM Emotion 16/6-slice configuration. Application Guide Protocols Principles Helpful Hints. 2009. availabe at: http://www.healthcare.siemens.com/.